

به نام خدا



دانشگاه تهران



دانشکده مهندسی برق و کامپیوتر

**بهینه سازی و یادگیری توزیع شده**

**پروژه 1**

نام و نام خانوادگی	نیما زمان پور
شماره دانشجویی	810198407
تاریخ ارسال گزارش	دی 1402

4.....	modeling
4.....	Dual Decomposition
4.....	الف) توضیحات
5.....	ب) شبیه سازی
5.....	نرخ یادگیری $lr = 0.05$
8.....	نرخ یادگیری $lr = 0.05/k$
9.....	نرخ یادگیری $lr = 0.05k$
12.....	طول گام ثابت:
14.....	روش ADMM
14.....	الف) توضیحات
14.....	ب) شبیه سازی
15.....	نرخ یادگیری $lr = 0.05$
17.....	نرخ یادگیری $lr = 0.01$
19.....	روش Proximal ADMM
19.....	الف) توضیحات
20.....	ب) شبیه سازی
20.....	نرخ یادگیری $lr = 0.05$
22.....	نرخ یادگیری $lr = 0.01$
25.....	مسئله SVM
26.....	روش primal
31.....	مسئله با متغیر تداخلی

## شکل‌ها

- Figure 1 نمودار همگرایی تعدادی از متغیر های عامل اول ..... 6
- Figure 2 نمودار همگرایی تعدادی از ضرایب لاگراژ داخلی عامل دوم ..... 6
- Figure 3 نمودار همگرایی تعدادی از ضرایب لاگراژ خارجی بین عامل اول و دوم ..... 7
- Figure 4 مسیر حرکت عامل ها در فضای 2 بعدی ..... 7
- Figure 5 نمودار همگرایی تعدادی از متغیر های عامل اول ..... 8
- Figure 6 نمودار همگرایی تعدادی از ضرایب لاگراژ داخلی عامل دوم ..... 8
- Figure 7 نمودار همگرایی تعدادی از ضرایب لاگراژ خارجی ..... 9
- Figure 8 مسیر حرکت عامل ها در فضای 2 بعدی ..... 9
- Figure 9 نمودار همگرایی تعدادی از متغیر های عامل اول ..... 10
- Figure 10 نمودار همگرایی تعدادی از ضرایب لاگراژ داخلی عامل دوم ..... 10
- Figure 11 نمودار همگرایی تعدادی از ضرایب لاگراژ خارجی ..... 11
- Figure 12 مسیر حرکت عامل ها در فضای 2 بعدی ..... 11
- Figure 13 نمودار همگرایی تعدادی از متغیر های عامل اول ..... 12
- Figure 14 نمودار همگرایی تعدادی از ضرایب لاگراژ داخلی عامل دوم ..... 12
- Figure 15 نمودار همگرایی تعدادی از ضرایب لاگراژ خارجی ..... 13
- Figure 16 مسیر حرکت عامل ها در فضای 2 بعدی ..... 13
- Figure 17 نمودار همگرایی تعدادی از متغیر های عامل اول ..... 15
- Figure 18 نمودار همگرایی تعدادی از ضرایب لاگراژ داخلی عامل اول ..... 15
- Figure 19 نمودار همگرایی تعدادی از ضرایب لاگراژ خارجی ..... 16
- Figure 20 مسیر حرکت عامل ها در فضای 2 بعدی ..... 16
- Figure 21 نمودار همگرایی تعدادی از متغیر های عامل اول ..... 17
- Figure 22 نمودار همگرایی تعدادی از ضرایب لاگراژ داخلی عامل دوم ..... 18
- Figure 23 نمودار همگرایی تعدادی از ضرایب لاگراژ خارجی ..... 18
- Figure 24 مسیر حرکت عامل ها در فضای 2 بعدی ..... 19
- Figure 25 نمودار همگرایی تعدادی از متغیر های عامل اول ..... 20
- Figure 26 نمودار همگرایی تعدادی از ضرایب لاگراژ داخلی عامل دوم ..... 21
- Figure 27 نمودار همگرایی تعدادی از ضرایب لاگراژ خارجی ..... 21

- 22..... 28 Figure مسیر حرکت عامل ها در فضای 2 بعدی
- 22..... 29 Figure نمودار همگرایی تعدادی از متغیر های عامل اول
- 23..... 30 Figure نمودار همگرایی تعدادی از ضرایب لاگراژ داخلی عامل دوم
- 23..... 31 Figure نمودار همگرایی تعدادی از ضرایب لاگراژ خارجی
- 24..... 32 Figure مسیر حرکت عامل ها در فضای 2 بعدی
- 25..... 33 Figure خط جدا کننده اولیه
- 26..... 34 Figure مقدار تابع هزینه و متغیر ها
- 26..... 35 Figure خط بهینه جدا کننده
- 27..... 36 Figure خطوط جدا کننده اولیه
- 28..... 37 Figure مقدار تابع هزینه با نرخ های یادگیری مختلف
- 28..... 38 Figure خطوط جدا کننده بهینه هر عامل
- 31..... 39 Figure مقدار تابع و متغیر ها
- 32..... 40 Figure مقادیر متغیر ها
- 32..... 41 Figure مقدار تابع هزینه با  $lr$  های مختلف

## modeling

در این پروژه قصد داریم به کمک روش **Model Predictive Control(mpc)** یک مسئله **path planning** را حل کنیم. در این مسئله ورودی سرعت در راستای  $\mathbf{x}, \mathbf{y}$  است و عامل ها باید با حفظ یک چینش قابل تنظیم در طول مسیر از تعدادی نقطه اجباری عبور کنند. و بقیه نقاط را بیابند. نقاط اجباری فقط به عامل اول داده می شود. همچنین نیروی ورودی باید بهینه باشد. پس داریم:

*horizon: length of route*

$$X_i = [x_i, y_i, V_{x_i}, V_{y_i}] \rightarrow (horizon * 4)$$

$$f(X) = \sum_{i=1}^{n_{agent}} f_{path_i}(X_i) + f_{cost_i}(X_i)$$

$$s.t.: x_{i,j+1} = x_{i,j} + V_{x(i,j+1)}dt$$

$$y_{i,j+1} = y_{i,j} + V_{y(i,j+1)}dt$$

$$\forall j \in Horizon, \forall i \in n_{agent} - \{1\} : x_{i,j} = x_{1,j} + keepDist[i][j][0]$$

$$y_{i,j} = y_{1,j} + keepDist[i][j][1]$$

$$f_{path}(X) = \sum 10 * (X[index_{checkpoint}] - checkpoints)^2$$

$$f_{cost}(X) = (\|V_x\|^2 + \|V_y\|^2) / 10$$

برای طبیعی تر کردن چرخش عامل ها، فاصله بین عامل ها و عامل اول یکسان نیست. بلکه با جهت سرعت عامل اول تغییر می کند. این تغییر بصورت یک ماتریس دوران در  $keepDist[i]$  ضرب می شود.

$$\forall i \in Horizon : \theta_i = \arctan\left(\frac{V_{y,i}}{V_{x,i}}\right)$$

$$keepDist[i][j] = initialKeepDist[i] * rotationMatrix(\theta - \frac{\pi}{2})$$

## Dual Decomposition

### الف) توضیحات

در این روش هر عامل  $horizon*4$  متغیر،  $horizon*2$  قید داخلی (مربوط به معادله سرعت) و  $horizon*2$  قید مشترک (مربوط به حفظ فاصله) دارد.

قید داخلی را  $D(x) = 0$  و قید خارجی را  $K(x)=0$  نام گذاری می کنیم.

حال لاگرانژین را می نویسیم:

$$L(X, \mu, \lambda) = f(X) + \mu D(X) + \lambda K(X)$$

سپس صورت تجزیه شده آن را می‌نویسیم.

$$L_i(X_i, \mu_i, \lambda_i) = f_i(X_i) + \mu_i D_i(X_i) + \lambda_i * \begin{cases} i = 1 & -X_{x,y,i} * (i - 1) \\ i \neq 1 & X_{x,y,i} - KeepDist[i - 1] \end{cases}$$

بعد از تجزیه شدن لاگرانژین عامل ها، می‌توان مسئله را بصورت دوسطحی حل کرد بطوری که

1. ابتدا مقادیر  $X, \mu, \lambda$  را بصورت رندوم مقدار دهی اولیه می‌کنیم.

2. سپس هر عامل در سطح پایین یک بهینه سازی برای تابع لاگرانژین خود روی  $X, \mu$  انجام

می‌دهد.

a. For 100 times do:

b. For all agents do:

$$c. X_i^{k+1} = X_i^k - \alpha * \frac{\partial}{\partial X_i} L_i(X, \mu^k, \lambda^l)$$

$$d. \mu_i^{k+1} = \mu_i^k + \alpha * \frac{\partial}{\partial \mu_i} L_i(X^k, \mu, \lambda^l)$$

3. در سطح بالا ضرایب قید های مشترک آپدیت می‌شوند.

$$a. \lambda_i^{l+1} = \lambda_i^k + \alpha * \frac{\partial}{\partial \lambda_i} L_i(X^k, \mu^k, \lambda)$$

## ب) شبیه سازی

مقادیر اولیه شبیه سازی:

$$N = 3, dt = 1$$

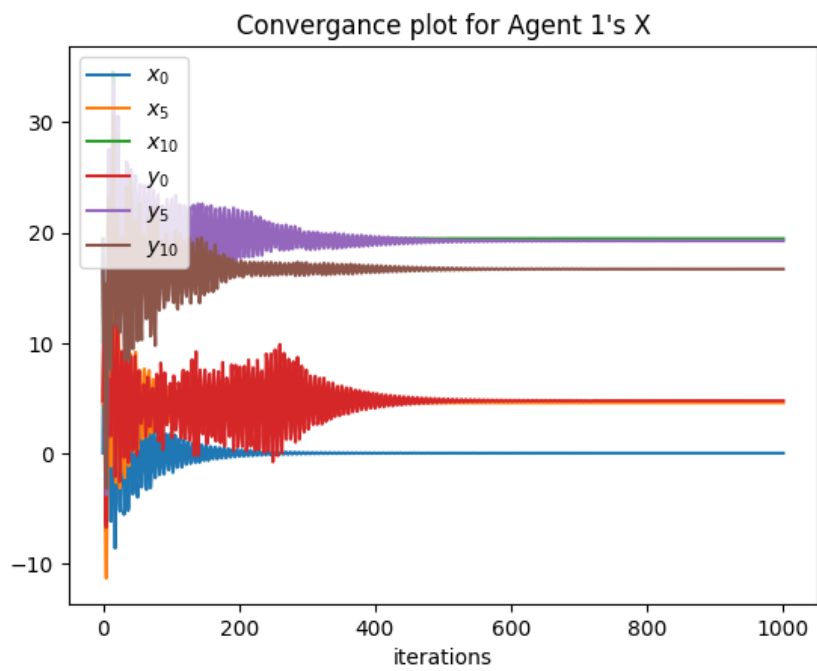
$$[x_0, y_0] = \begin{bmatrix} 0 \\ 1 \end{bmatrix} \quad \begin{bmatrix} -1 \\ 0 \end{bmatrix} \quad \begin{bmatrix} 1 \\ 0 \end{bmatrix}$$

$$checkpoints = \begin{bmatrix} 0 \\ 20 \end{bmatrix} \quad \begin{bmatrix} 20 \\ 20 \end{bmatrix} \quad \begin{bmatrix} 20 \\ 0 \end{bmatrix}$$

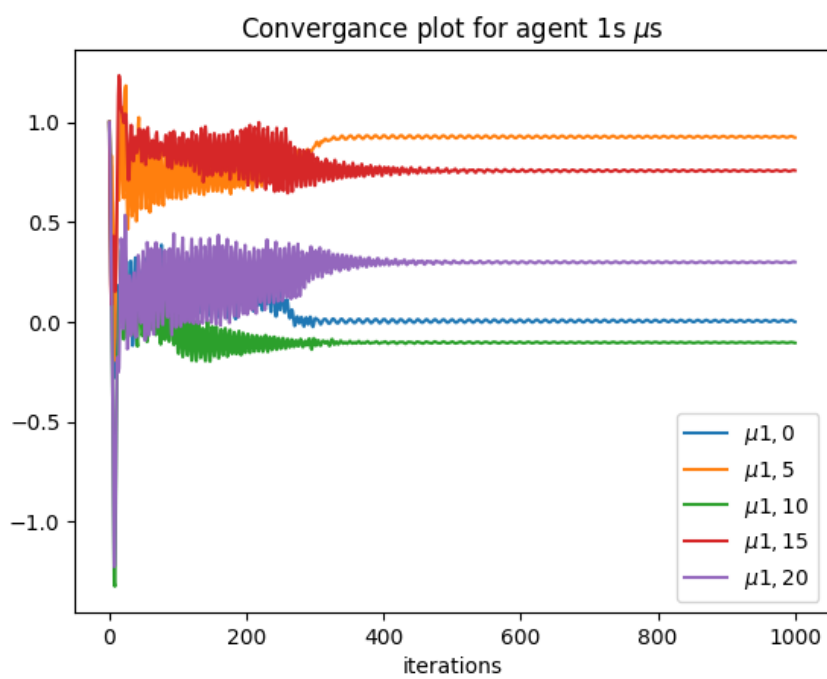
نرخ یادگیری  $lr = 0.05$

در این حالت سطح داخلی 100 مرتبه و سطح بیرونی 1000 مرتبه آپدیت شدند.

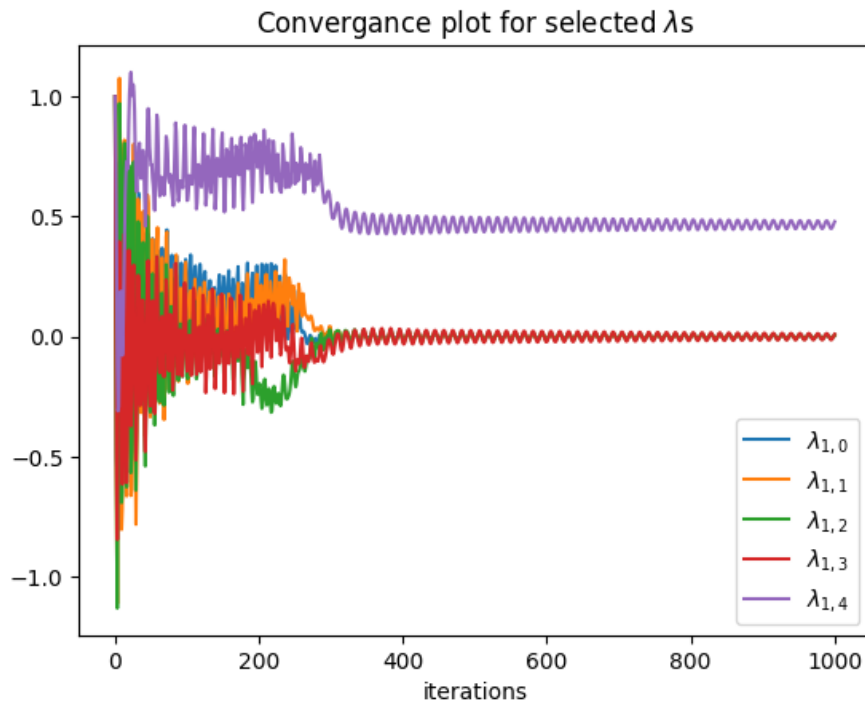
نتایج بصورت زیر است:



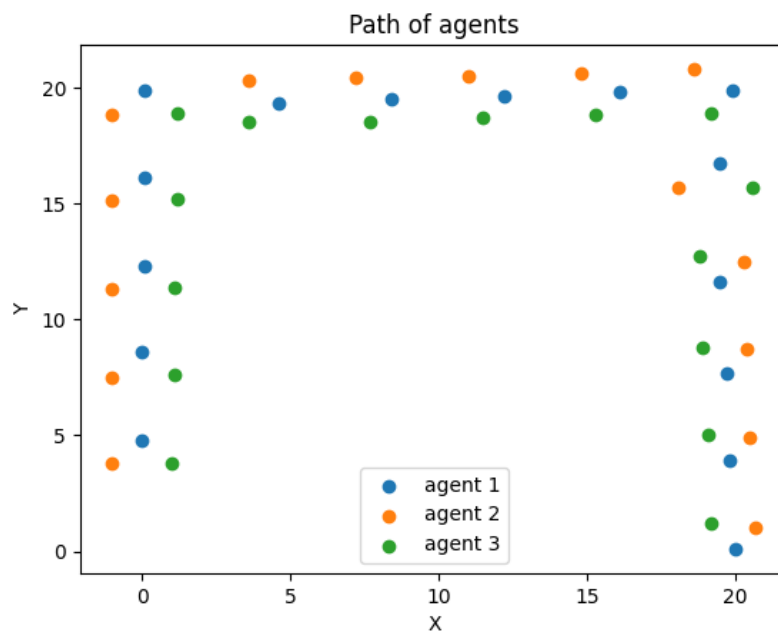
**Figure 1** نمودار همگرایی تعدادی از متغیر های عامل اول



**Figure 2** نمودار همگرایی تعدادی از ضرایب لاگراژ داخلی عامل دوم



**Figure 3** نمودار همگرایی تعدادی از ضرایب لاگرانژ خارجی بین عامل اول و دوم



**Figure 4** مسیر حرکت عامل ها در فضای 2 بعدی

همانطور که می‌توان دید، روش dual decomposition توانسته مسئله فوق را حل کند. و عامل ها چینش مورد نظر در طول مسیر را پیدا کرده اند. همچنین با نگاهی به نمودار ها می‌تواند دریافت که متغیر های داخلی کاملاً همگرا شده ولی ضرایب لاگرانژ با وجود همگرایی قابل قبولی همچنان نوسان میرای کوچکی



دارند که برطرف کردن آن نیاز به پیمایش های طولانی تری دارد. در کل این روش 78 دقیقه به طول انجامید.

نرخ یادگیری  $lr=0.05/k$ :

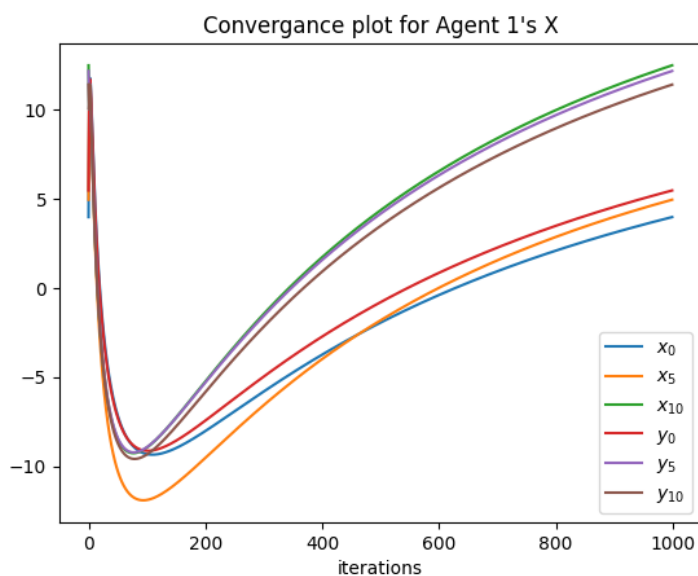


Figure 5 نمودار همگرایی تعدادی از متغیر های عامل اول

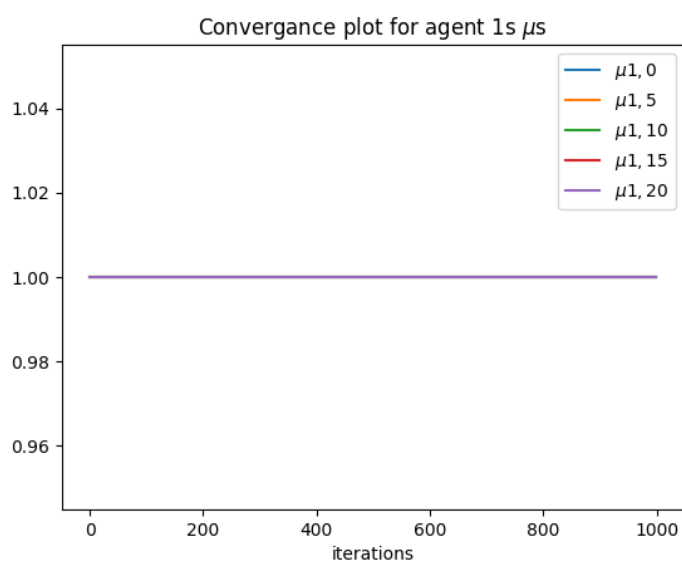


Figure 6 نمودار همگرایی تعدادی از ضرایب لاگراژ داخلی عامل دوم

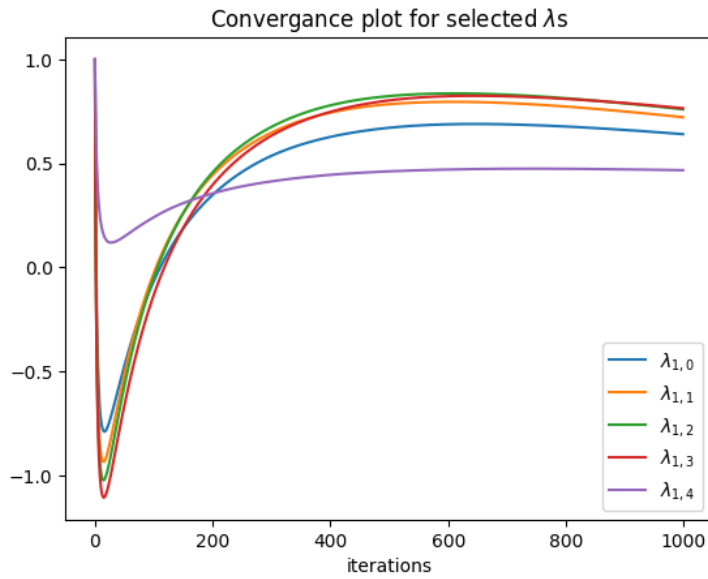


Figure 7 نمودار همگرایی تعدادی از ضرایب لاگراژ خارجی

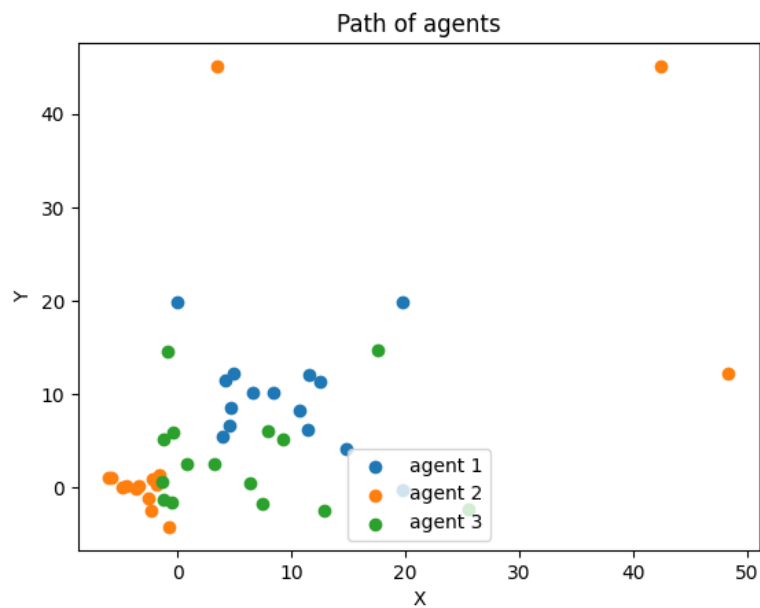
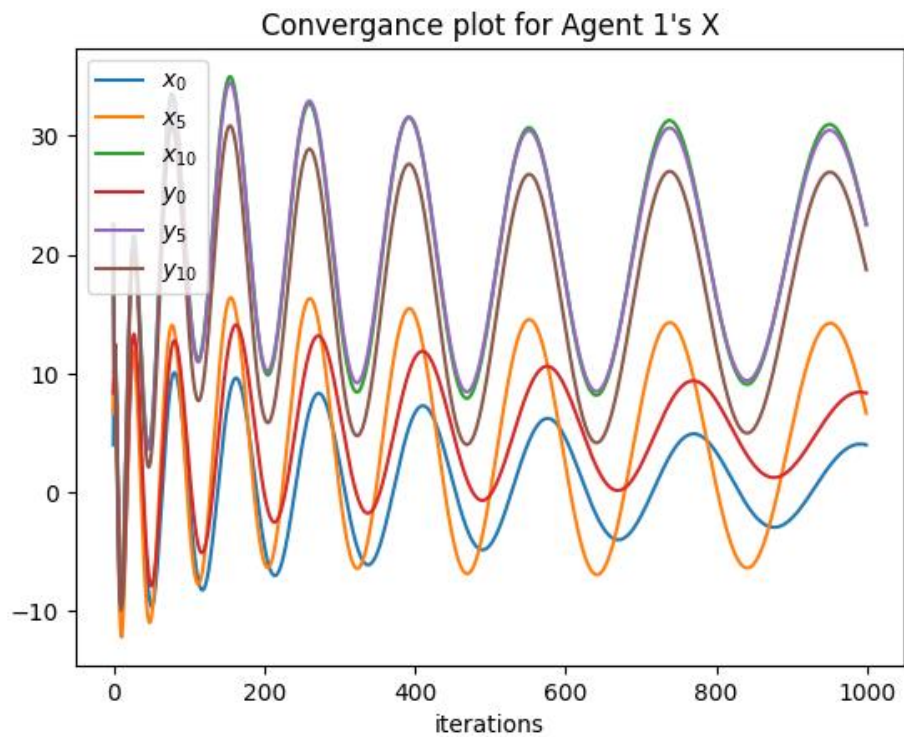


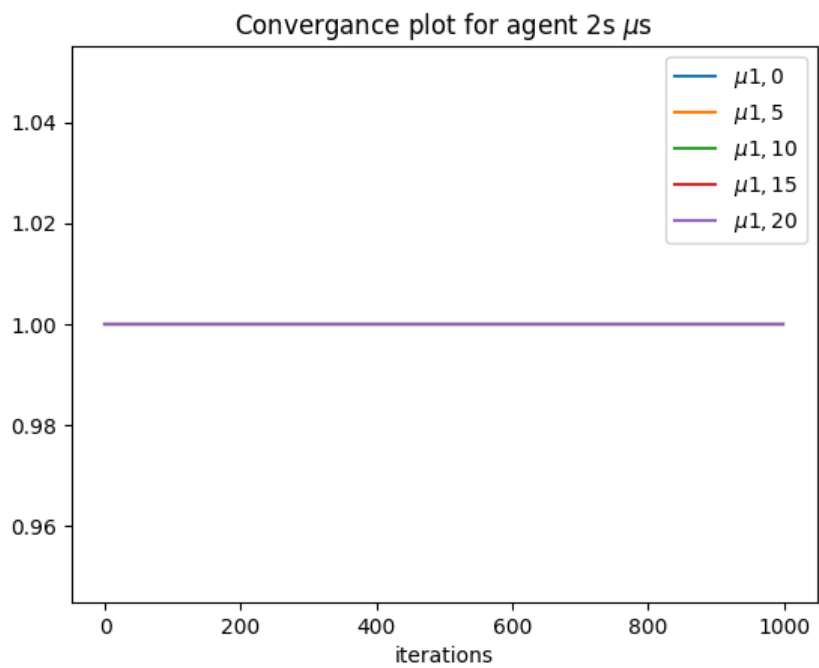
Figure 8 مسیر حرکت عامل ها در فضای 2 بعدی

این روش به دلیل به سرعت کند شدن نرخ یادگیری نتوانسته همگرا شود و بعد از 1000 مرتبه اجرا هنوز در میانه راه است. این روش برای مسئله جواب نداده و مناسب نیست.

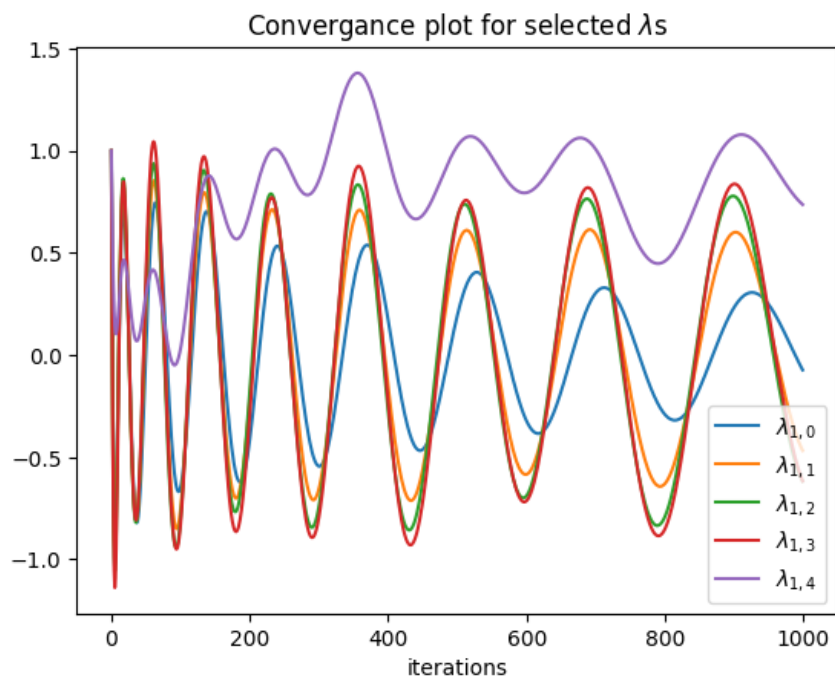
$$\text{نرخ یادگیری} : lr = \frac{0.05}{\sqrt{k}}$$



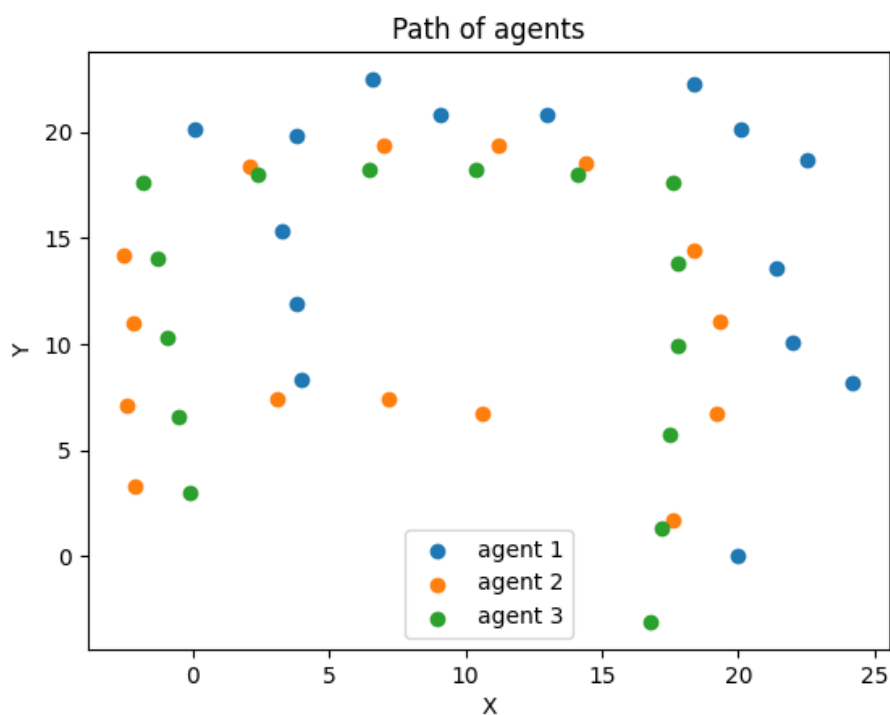
**Figure 9** نمودار همگرایی تعدادی از متغیر های عامل اول



**Figure 10** نمودار همگرایی تعدادی از ضرایب لاگراز داخلی عامل دوم



**Figure 11** نمودار همگرایی تعدادی از ضرایب لاگراژ خارجی



**Figure 12** مسیر حرکت عامل ها در فضای 2 بعدی

با نگاهی به نمودار ها می توان دید که این نرخ یادگیری با این که بهتر از روش قبلی عمل کرده اما هنوز نتوانسته به همگرایی برسد که علت آن میرایی نرخ یادگیری بوده که بهینه ساز فرصت رسیدن به نقاط بهینه را پیدا نکرده.

طول گام ثابت:

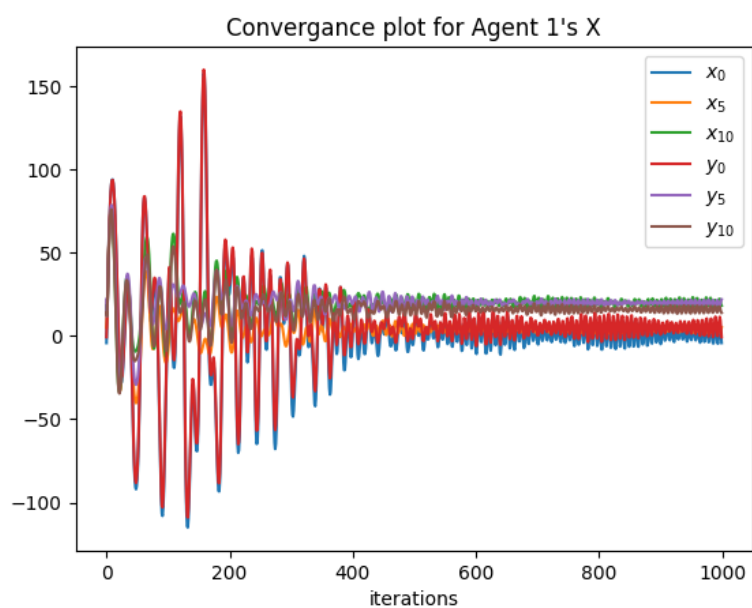


Figure 13 نمودار همگرایی تعدادی از متغیرهای عامل اول

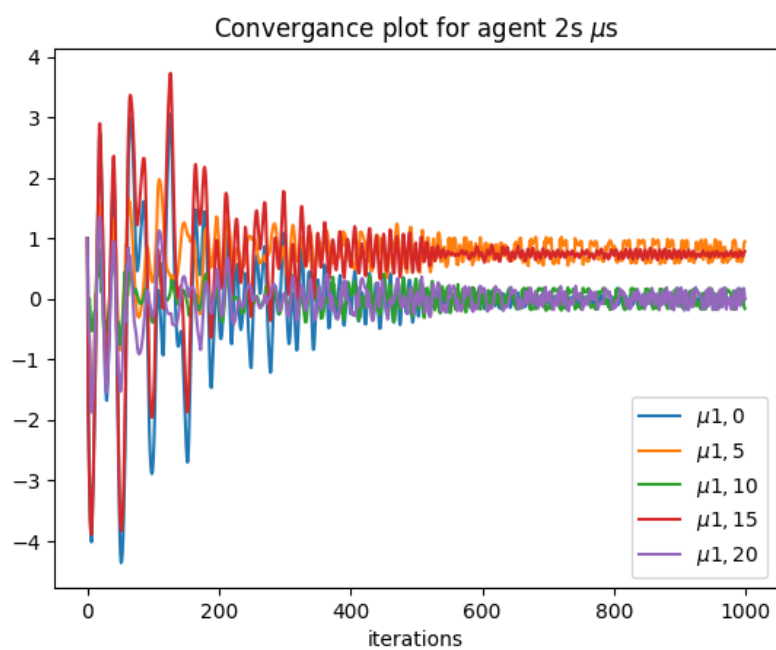


Figure 14 نمودار همگرایی تعدادی از ضرایب لاگراز داخلی عامل دوم

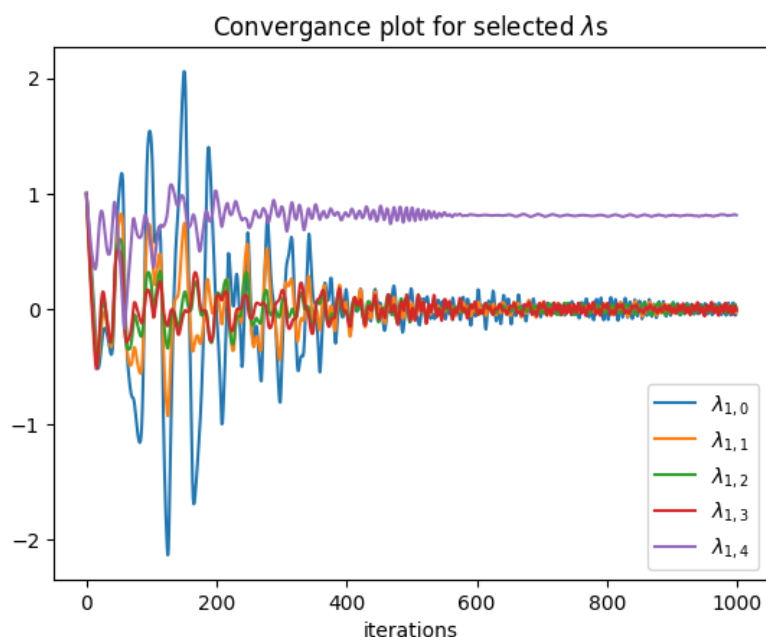


Figure 15 نمودار همگرایی تعدادی از ضرایب لاگراز خارجی

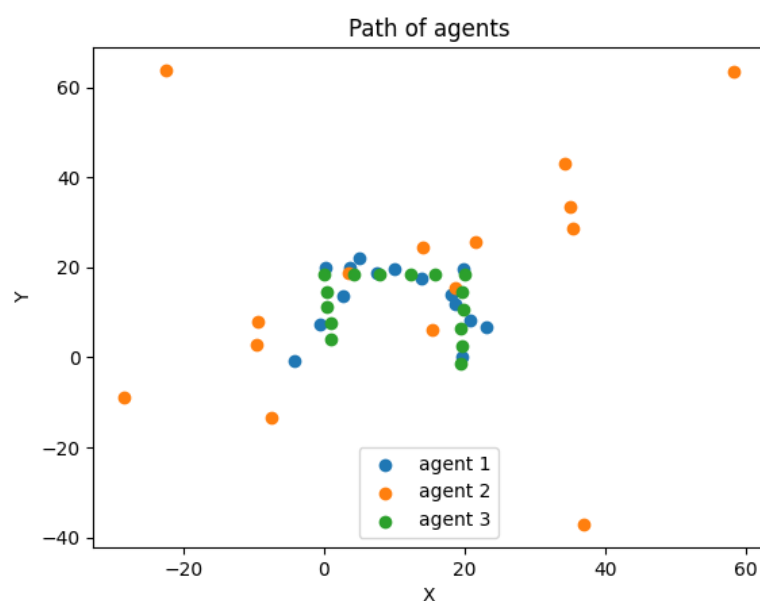


Figure 16 مسیر حرکت عامل ها در فضای 2 بعدی

با نگاهی به نمودار ها می توان دید که این روش با این که به ظاهر در نمودار های اول همگرا شده اما به نگاه به مسیر حرکت عامل ها می توان دید که همگرایی رخ نداده است. یکی از علت های آن می تواند این باشد که در نمودار های قبلی نوسان زیادی در همگرایی وجود داشته و این نوسان باعث شده که نرم گردایان نیز نوسان داشته باشد و به یک کمینه محلی همگرا شده باشد. این روش حدود 105 دقیقه به طول انجامید

### الف) توضیحات

در این روش بر خلاف روش قبلی آپدیت بصورت ترتیبی در یک سطح انجام می شود. همچنین یک عبارت درجه 2 از قید ها به لاگرانژین افزوده می شود. که به آن Augmented Lagrangian می گویند. روش بدست آوردن و تجزیه کردن دقیقاً همانند روش قبل است. (به غیر از عبارت  $\|K(X)\|^2$  که قابل تجزیه نیست و به همان گونه در آپدیت هر کدام از عامل ها بصورت  $\|K(X)\|^2/n_{agent}$  ظاهر می شود.

$$AL_i(X_i, \mu_i, \lambda_i) = L_i(X_i, \mu_i, \lambda_i) + \frac{\rho}{2} (\|D_i(X_i)\|^2 + \|K(X)\|^2)$$

پس روش آپدیت بصورت زیر است:

1. ابتدا مقادیر  $X, \mu, \lambda$  را بصورت رندوم مقدار دهی اولیه می کنیم.
2. سپس برای 10000 بار آپدیت های زیر را برای هر عامل بصورت ترتیبی انجام می دهیم:

For all agents do: a

$$X_i^{k+1} = X_i^k - \alpha * \frac{\partial}{\partial X_i} AL_i(X, \mu^k, \lambda^l) \quad .b$$

$$\mu_i^{k+1} = \mu_i^k + \alpha * \rho * \frac{\partial}{\partial \mu_i} L_i(X^k, \mu, \lambda^l) \quad .c$$

$$\lambda_i^{l+1} = \lambda_i^k + \alpha * \rho * \frac{\partial}{\partial \lambda_i} L_i(X^k, \mu^k, \lambda) \quad .d$$

### ب) شبیه سازی

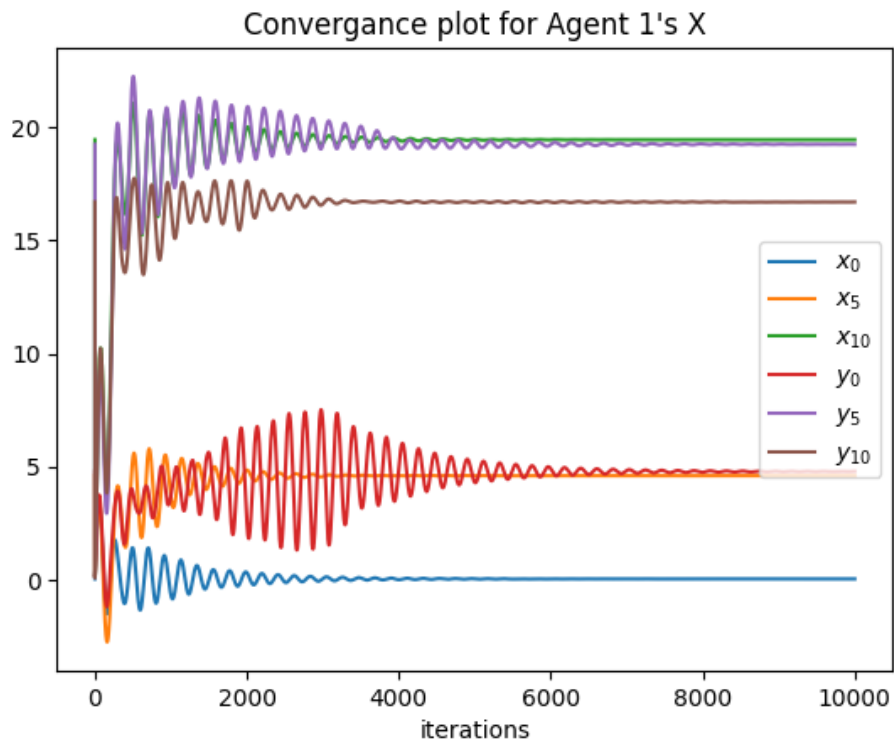
مقادیر اولیه شبیه سازی:

$$N = 3, dt = 1, \rho = 0.1$$

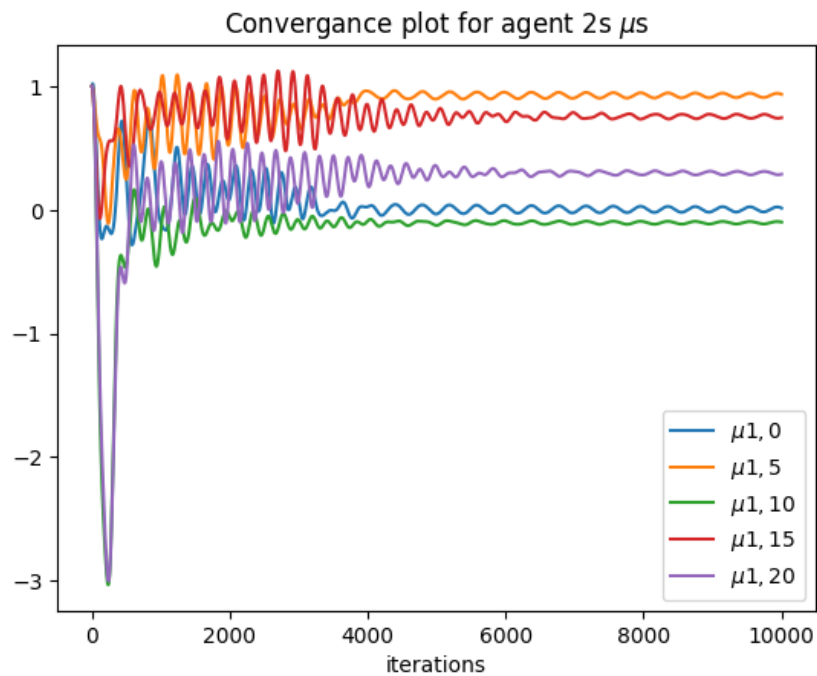
$$[x_0, y_0] = \begin{bmatrix} 0 \\ 1 \end{bmatrix} \quad \begin{bmatrix} -1 \\ 0 \end{bmatrix} \quad \begin{bmatrix} 1 \\ 0 \end{bmatrix}$$

$$checkpoints = \begin{bmatrix} 0 \\ 20 \end{bmatrix} \quad \begin{bmatrix} 20 \\ 20 \end{bmatrix} \quad \begin{bmatrix} 20 \\ 0 \end{bmatrix}$$

نرخ یادگیری  $lr = 0.05$ :

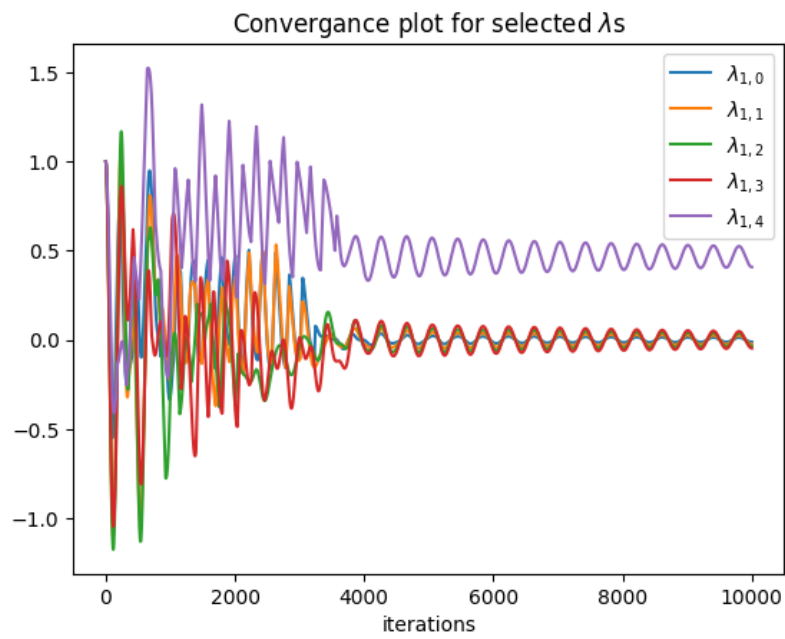


**Figure 17** نمودار همگرایی تعدادی از متغیر های عامل اول

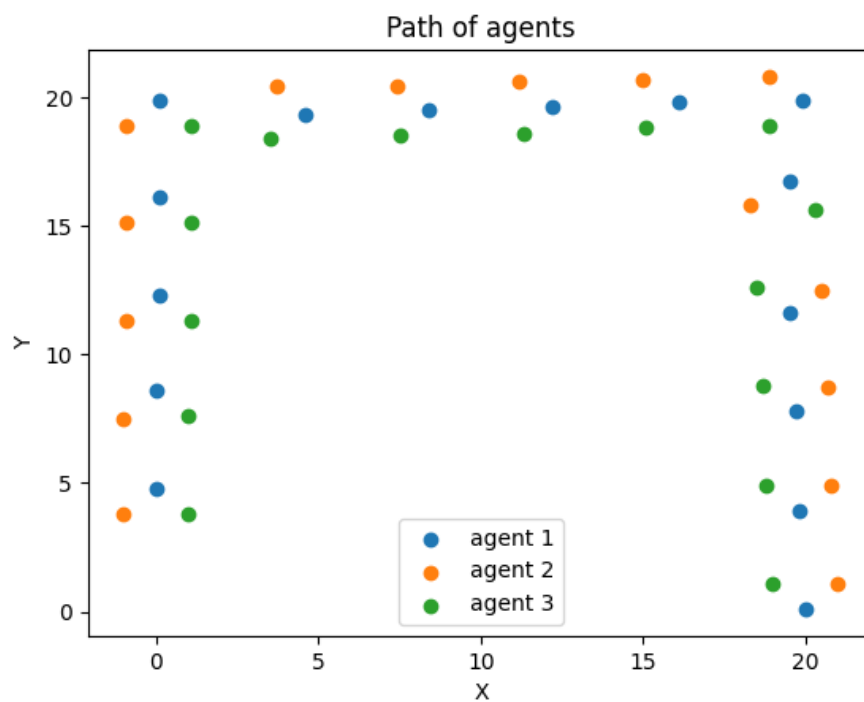


**Figure 18** نمودار همگرایی تعدادی از ضرایب لاگراژ داخلی عامل اول



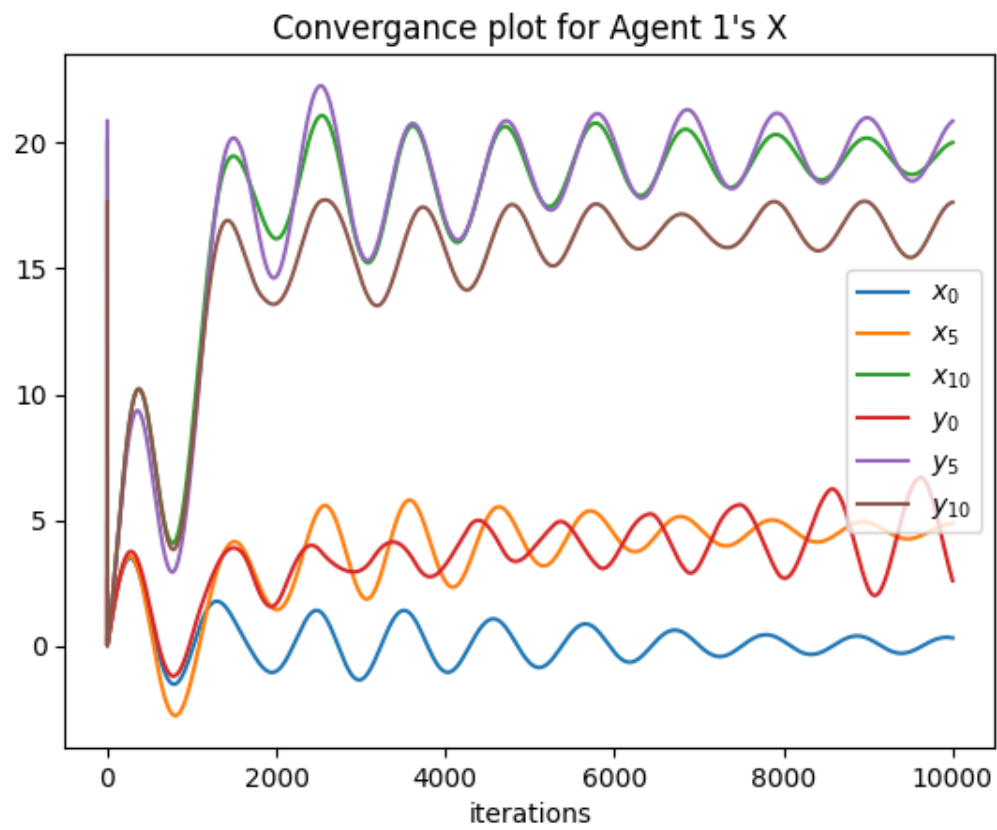


**Figure 19** نمودار همگرایی تعدادی از ضرایب لاگراژ خارجی

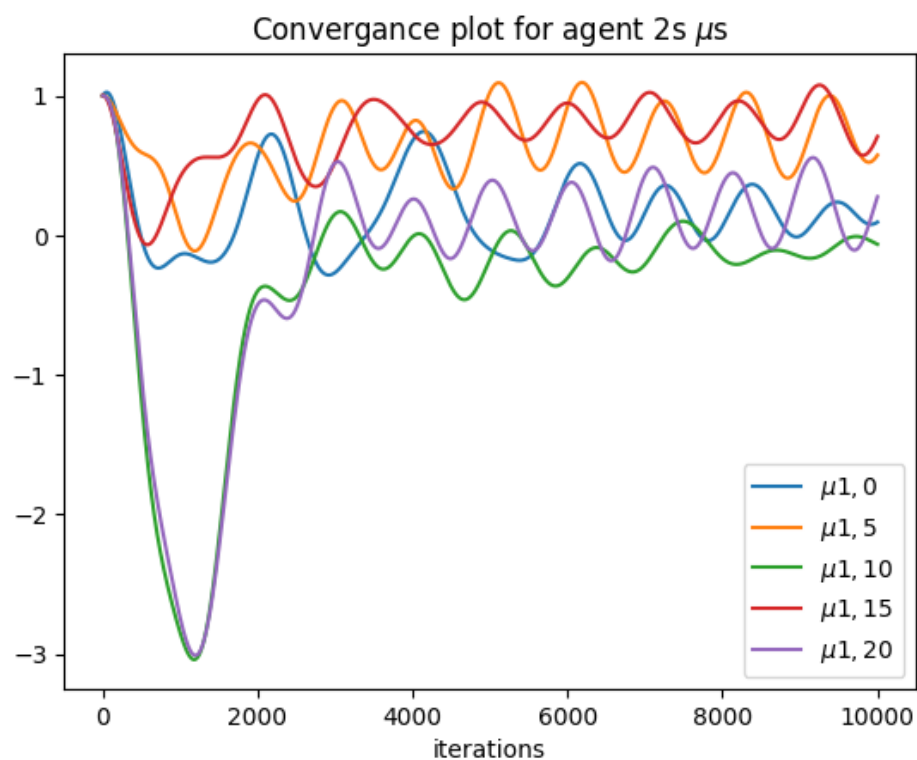


**Figure 20** مسیر حرکت عامل ها در فضای 2 بعدی

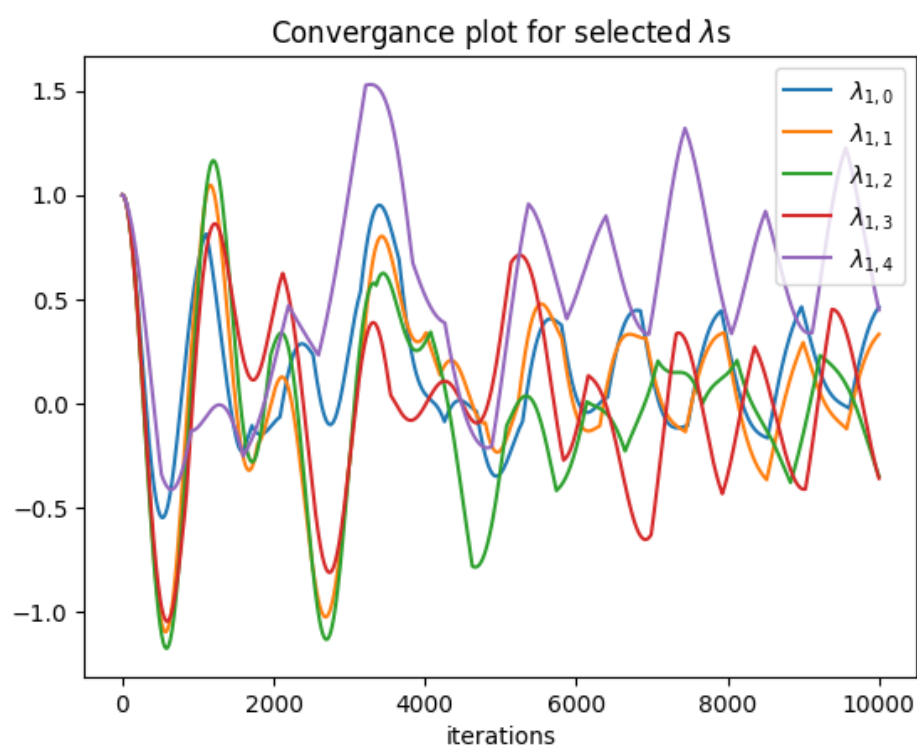
نرخ یادگیری  $lr = 0.01$



**Figure 21** نمودار همگرایی تعدادی از متغیر های عامل اول



**Figure 22** نمودار همگرایی تعدادی از ضرایب لاگراژ داخلی عامل دوم



**Figure 23** نمودار همگرایی تعدادی از ضرایب لاگراژ خارجی

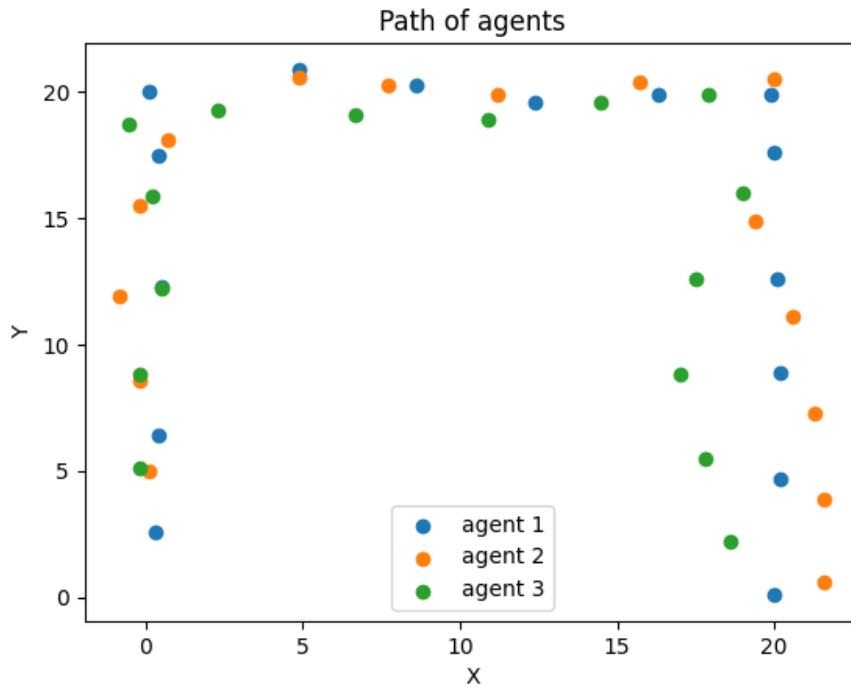


Figure 24 مسیر حرکت عامل ها در فضای 2 بعدی

روش ADMM به خوبی توانسته است که مسئله را حل کند و مقادیر متغیر های همگی میل کرده اند. و مسیر عامل ها مطابق انتظار است. همچنین روند همگرایی آن نسبت به روش dual نوسان کمتری دارد. علت این نوسانات احتمالا روش حل مسئله است که بصورت دو سطحی یا ترتیبی min-max گیری انجام می شود. اما با کاهش نرخ یادگیری به 0.01 به همان نسبت همگرایی کمتر رخ داده و هنوز اعوجاج در نمودار ها مشاهده می شود که نتیجه آن مسیر معوج عامل ها در شکل آخر است. این روش 75 دقیقه طول کشید.

## روش Proximal ADMM

### الف) توضیحات

این روش نیز تقریبا مشابه روش ADMM است. با این تفاوت که یک عبارت  $\frac{1}{2} \|X^k - X^{k-1}\|$  به لاگرانژین اضافه می شود. این عبارت باعث می شود که همگرایی نرم تری داشته باشیم و نوسان در نمودار متغیر ها کمتر مشاهده شود. پس لاگرانژین جدید بصورت:

$$PAL_i(X_i, \mu_i, \lambda_i) = AL_i(X_i, \mu_i, \lambda_i) + \frac{1}{2} \|X^k - X^{k-1}\|$$

است.

پس روش آپدیت بصورت زیر است:

1. ابتدا مقادیر  $X, \mu, \lambda$  را بصورت رندوم مقدار دهی اولیه می کنیم.
2. سپس برای 10000 بار آپدیت های زیر را برای هر عامل بصورت ترتیبی انجام می دهیم:

For all agents do: .a

$$X_i^{k+1} = X_i^k - \alpha * \frac{\partial}{\partial X_i} AL_i(X, \mu^k, \lambda^l) \quad .b$$

$$\mu_i^{k+1} = \mu_i^k + \alpha * \rho * \frac{\partial}{\partial \mu_i} L_i(X^k, \mu, \lambda^l) \quad .c$$

$$\lambda_i^{l+1} = (1 - \tau)\lambda_i^k + \alpha * \rho * \frac{\partial}{\partial \lambda_i} L_i(X^k, \mu^k, \lambda) \quad .d$$

## ب) شبیه سازی

مقادیر اولیه شبیه سازی:

$$N = 3, dt = 1, \rho = 0.1, \tau = 0.05$$

$$[x_0, y_0] = \begin{bmatrix} 0 \\ 1 \end{bmatrix} \quad \begin{bmatrix} -1 \\ 0 \end{bmatrix} \quad \begin{bmatrix} 1 \\ 0 \end{bmatrix}$$

$$checkpoints = \begin{bmatrix} 0 \\ 20 \end{bmatrix} \quad \begin{bmatrix} 20 \\ 20 \end{bmatrix} \quad \begin{bmatrix} 20 \\ 0 \end{bmatrix}$$

نرخ یادگیری  $lr = 0.05$

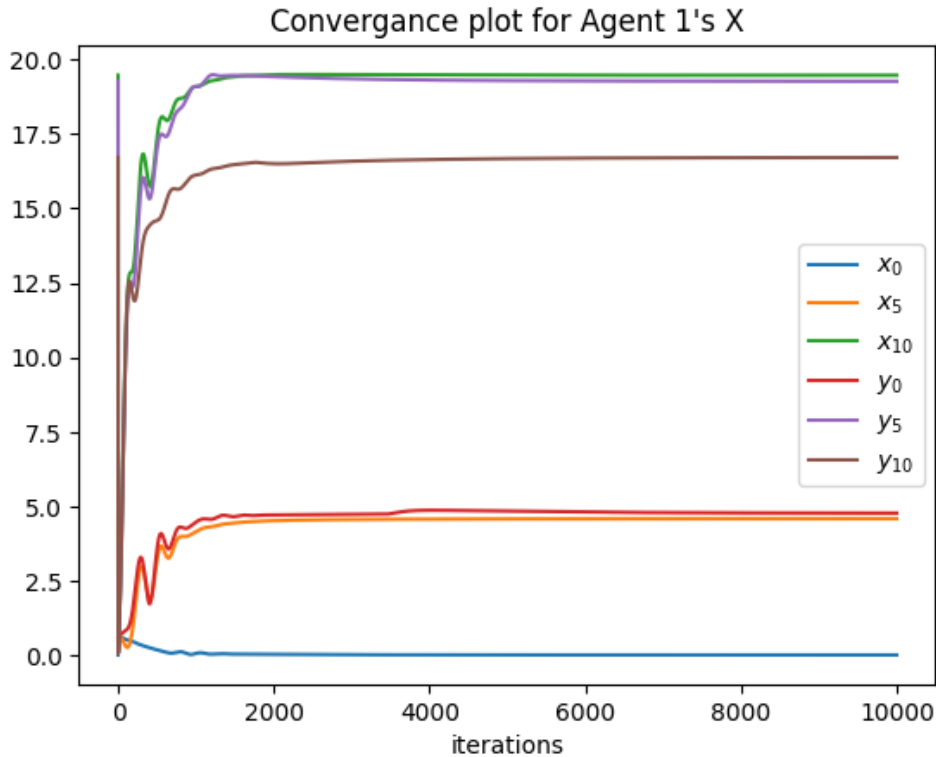
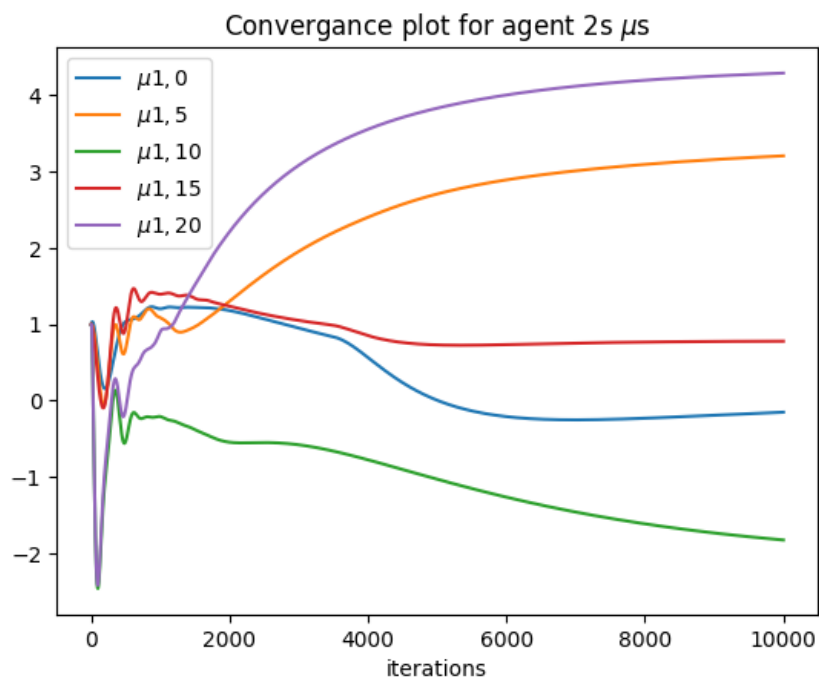
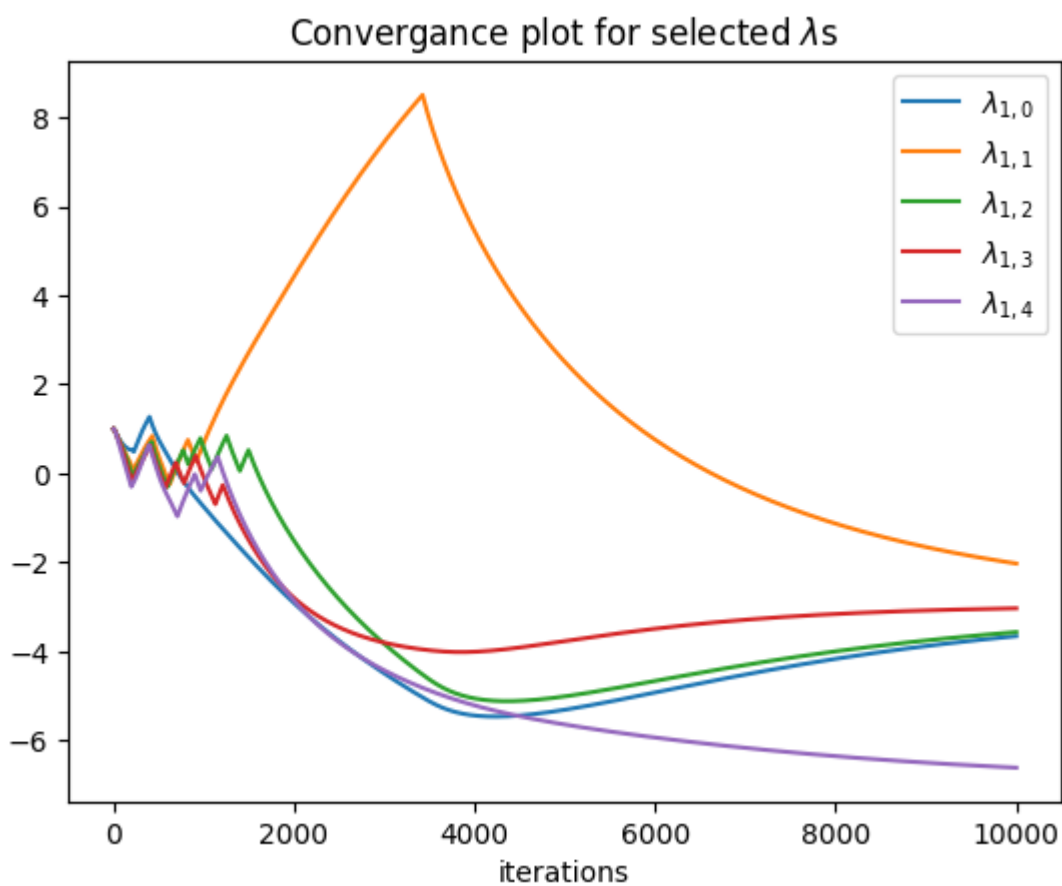


Figure 25 نمودار همگرایی تعدادی از متغیر های عامل اول



**Figure 26** نمودار همگرایی تعدادی از ضرایب لاگراز داخلی عامل دوم



**Figure 27** نمودار همگرایی تعدادی از ضرایب لاگراز خارجی

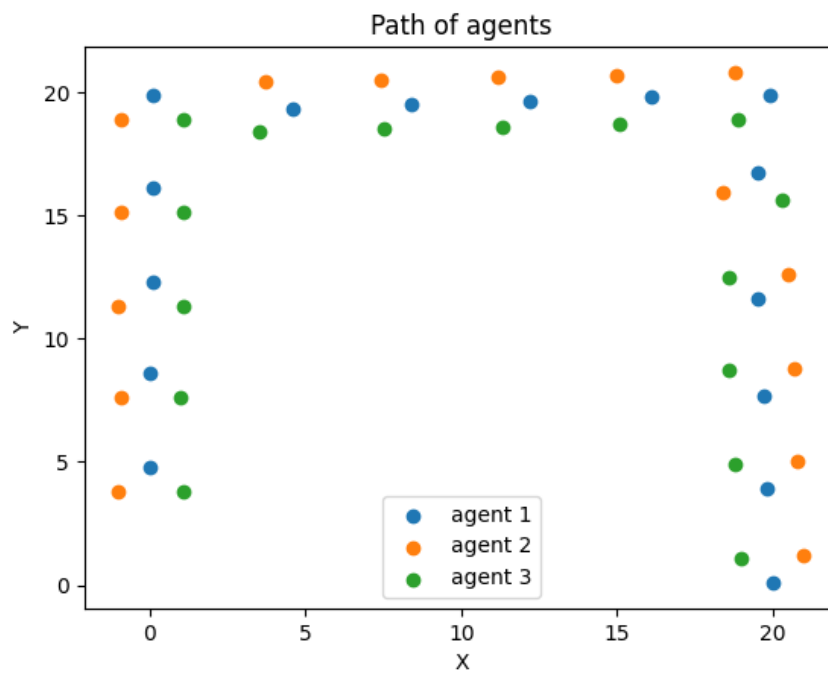


Figure 28 مسیر حرکت عامل ها در فضای 2 بعدی

نرخ یادگیری  $lr = 0.01$

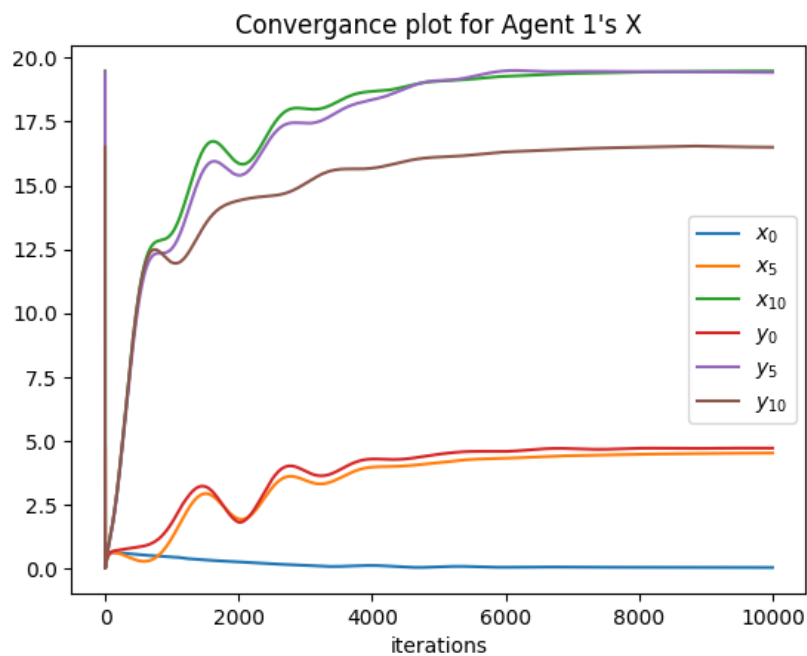
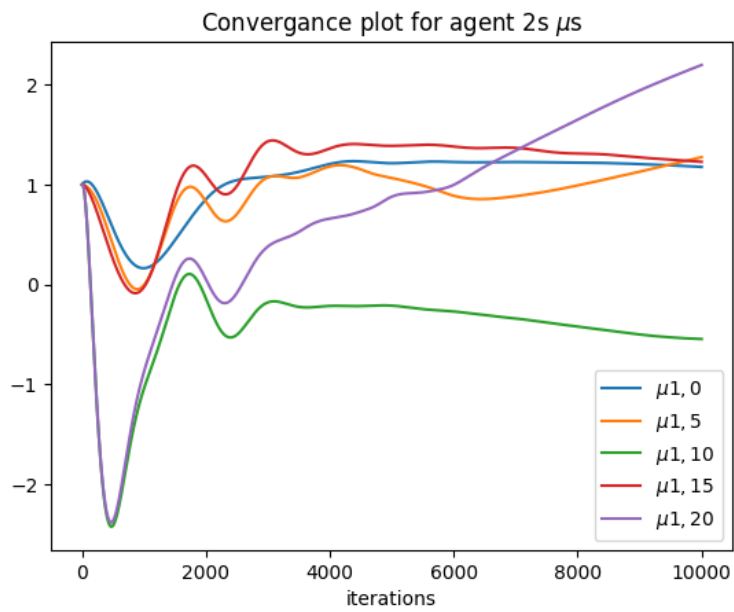
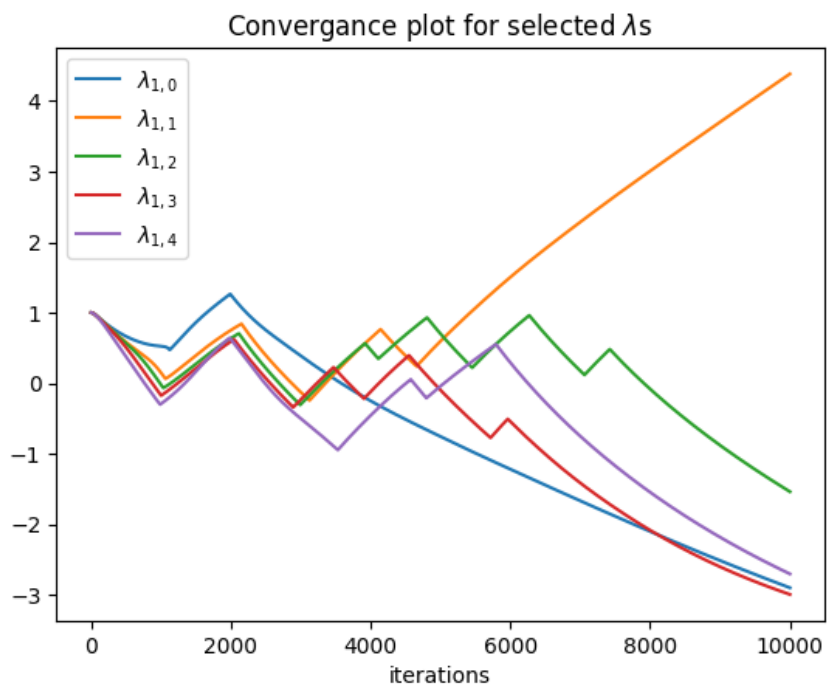


Figure 29 نمودار همگرایی تعدادی از متغیر های عامل اول



**Figure 30** نمودار همگرایی تعدادی از ضرایب لاگراز داخلی عامل دوم



**Figure 31** نمودار همگرایی تعدادی از ضرایب لاگراز خارجی



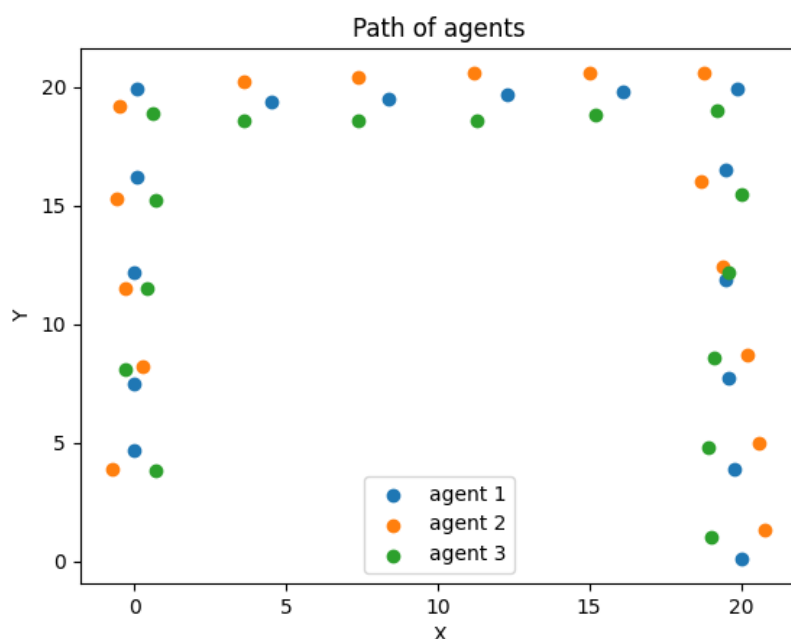


Figure 32 مسیر حرکت عامل ها در فضای 2 بعدی

روش proximal ADMM نیز به خوبی همگرا شده و همگرایی متغیر های آن بسیار زودتر از بقیه روش ها رخ می دهد. همچنین نمودار، همگرایی نرم تری دارد که دلیل آن همانطور که در ابتدا گفته شده عبارت مومنتوم اضافه شده به لاگرانژین است. اما حالت دندان اره ای در نمودار پدیدار شده که علت آن مشخص نیست. همانند روش قبل با کاهش نرخ یادگیری به همان نسبت همگرایی کمتری داریم. اما روش proximal ADMM نسبت به ADMM در نرخ پایین بهتر همگرا شده است. به دلیل وجو عبارت تکانه. این روش 88 دقیقه طول کشیده است.

در این مسئله روش متمرکز و primal استفاده نشده. دلیل آن کندی بسیار زیاد روش متمرکز است که نیاز به حل یک بهینه سازی 240 متغیر و  $120+120$  ضریب لاگرانژ دارد. (اما پیاده سازی روش متمرکز بسیار نزدیک به روش dual است و کافی است. که لاگرانژین ها تجزیه نشوند) همچنین به دلیل وجود قیود تساوی تداخلی و نداشتن متغیر تداخلی، استفاده از روش primal تعداد قید ها را 2 برابر و به تعداد قید ها نیز به مسئله متغیر اضافه می کرد. و نیاز به تصویر سازی بر روی فضا های سرعت ها و موقعیت های عامل ها بود. به همین دلیل از این 2 روش در مسئله صرف نظر کرده و بجای آن یک مسئله SVM و یک مسئله بدون قید با متغیر تداخلی ساده را با این دو روش حل می کنیم.

## مسئله SVM

در این مسئله هدف پیدا کردن یک زیر فضا در فضا است که بتواند 2 دسته از داده ها را از هم جدا کند.

$dataset = \{(x_l, y_l), l \in S_i\}$  datas in  $i$ th partition of dataset.

$$\min_{A,b} f(A,b) = \sum_{i=1}^m \left( \frac{1}{m} \|A\|^2 + \sum_{l \in S_i} \max(0, 1 - y_l(A^T x_l + b)) \right)$$

$$\min_x \sum_{i=1}^m f_i(x)$$

در روش متمرکز همه دیتاست ها تجمع می شوند تا یک دیتاست بدست آید. سپس سابگرادیان گیری بر روی  $a, b$  انجام می شود تا خط جداساز بهینه بدست آید.

$$X^{k+1} = X^k - \alpha(k) * \frac{\partial}{\partial X} f(X)$$

از 900 داده در دو کلاس با مرکزیت  $\begin{bmatrix} 2 \\ 2 \end{bmatrix}$  و  $\begin{bmatrix} -2 \\ -2 \end{bmatrix}$  و واریانس 1 استفاده می کنیم.  $A, b$  را بصورت رندوم مقداردهی می کنیم. و سابگرادیان گیری و آپدیت را برای 1000 بار انجام می دهیم. ( $lr=0.01$ ) و نتایج زیر بدست می آید:

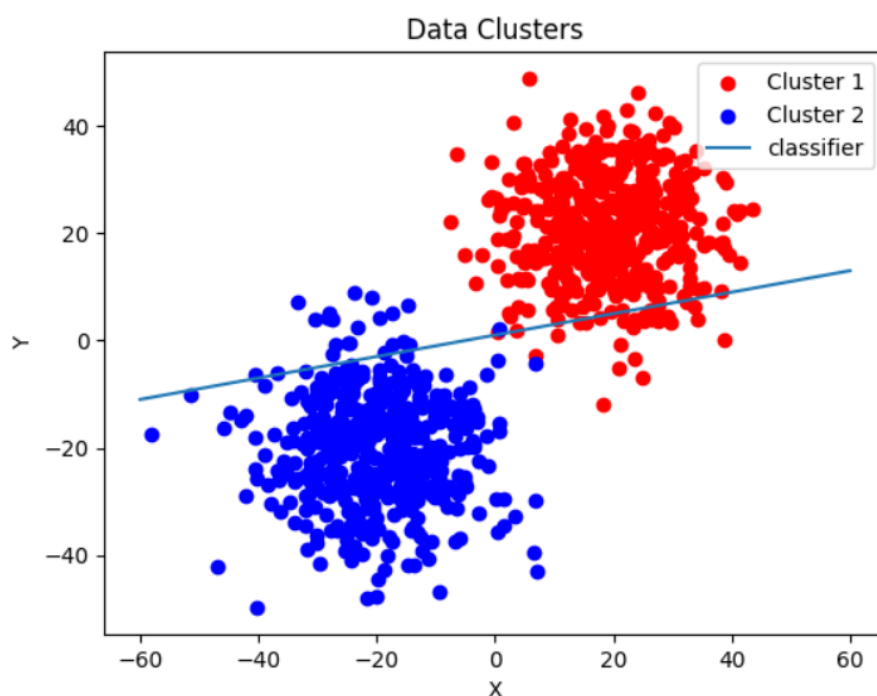


Figure 33 خط جدا کننده اولیه

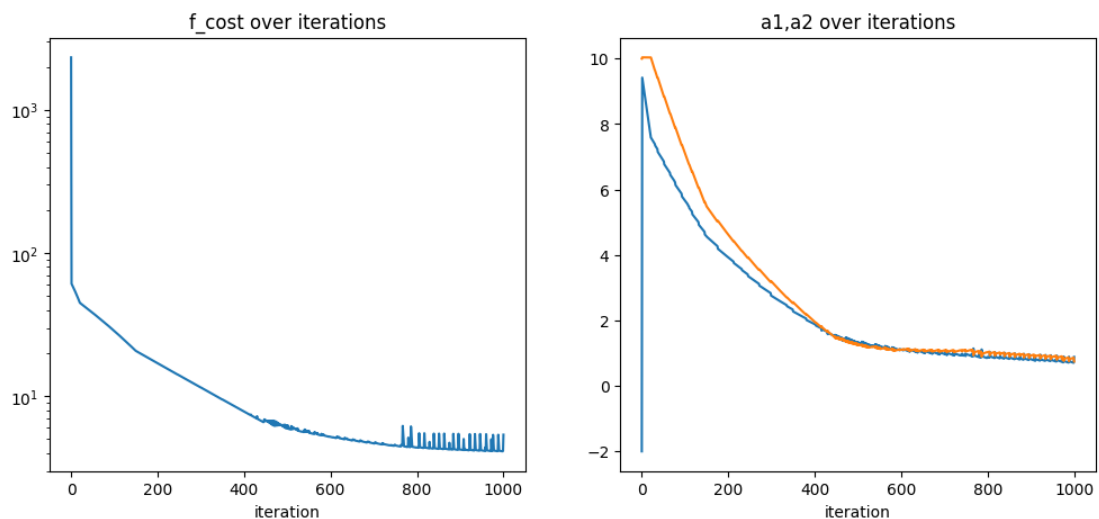


Figure 34 مقدار تابع هزینه و متغیر ها

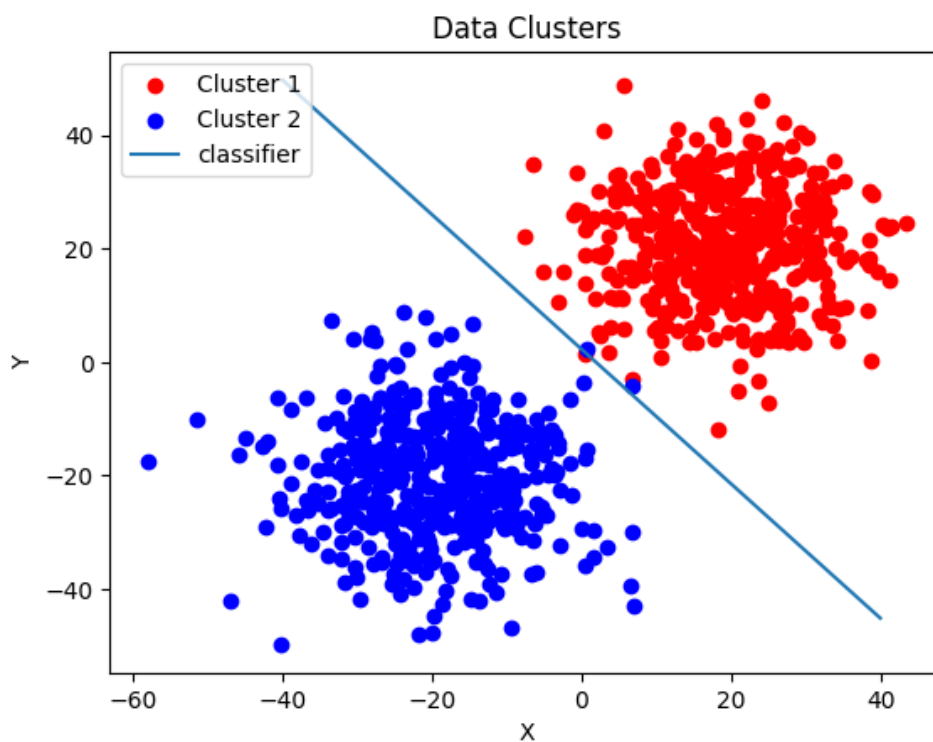


Figure 35 خط بهینه جدا کننده

همانطور که می‌تواند دید خط بهینه توانسته به خوبی داده‌ها را از هم جدا کند.

### روش primal

در این روش دیتاست‌ها جدا هستند. و به همان تعداد عامل وجود دارد. هر عامل خط بهینه ساز خود را حل می‌کند به همین دلیل خطوط روی هم نمی‌افتند.

$$\min_{A,b} \sum_{i=1}^m \left( \frac{1}{m} \|A\|^2 + \sum_{l \in S_i} \max(0, 1 - y_l(A^T x_l + b)) \right)$$

$$\min_{x_1, 2, \dots} \sum_{i=1}^m f_i(x_i)$$

$$s. t. \forall i, j \ x_i = x_j$$

$$\forall X_i: X_i^{k+1} = X_i^k - \alpha(k) * \frac{\partial}{\partial X_i} f_i(X_i)$$

$$\forall X_i: X_i^{k+1} = \text{mean}(X_i^k)$$

$$n_{agent} = 5, lr = 0.005$$

نتایج بصورت زیر است:

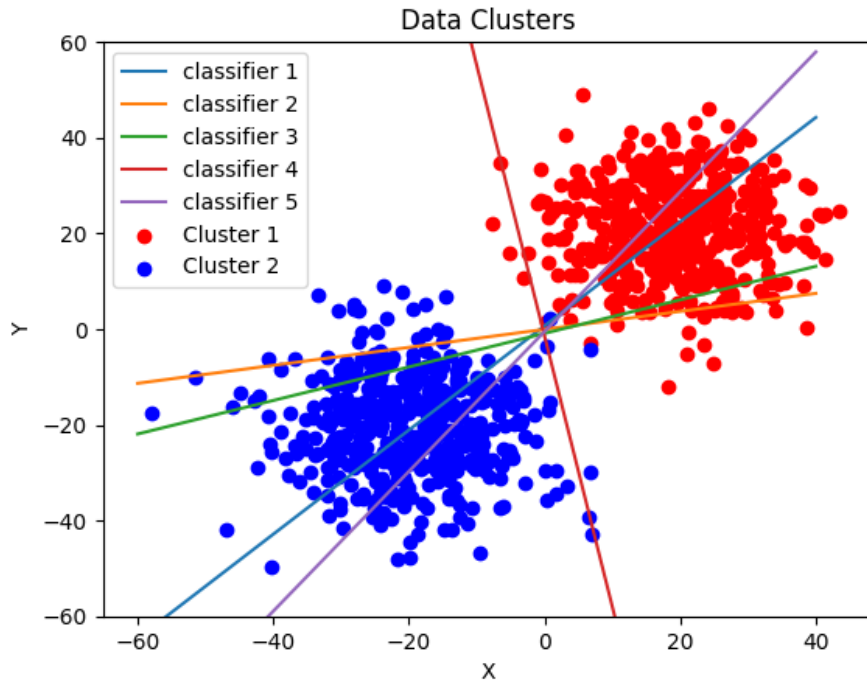


Figure 36 خطوط جدا کننده اولیه

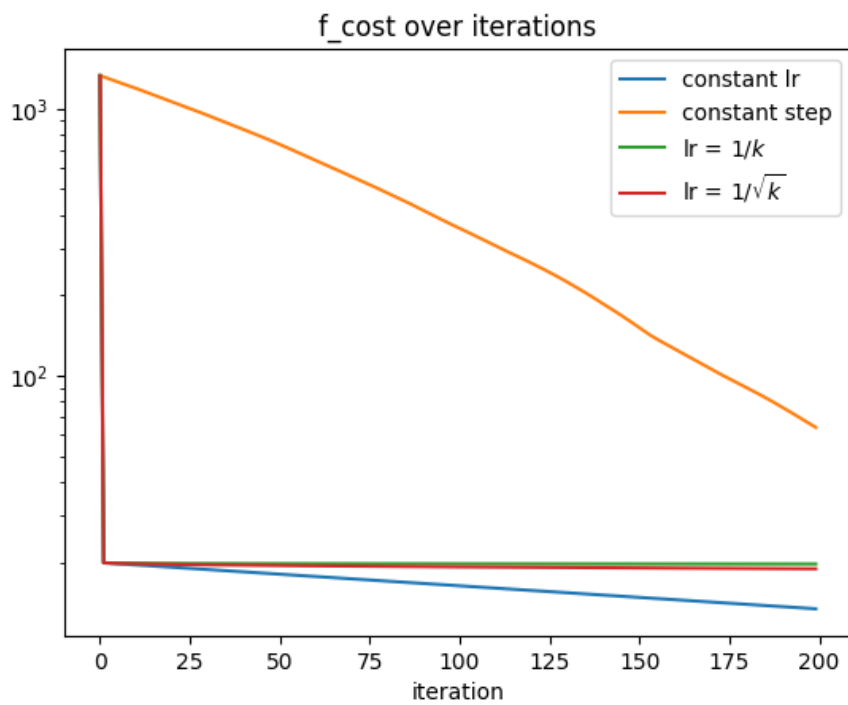


Figure 37 مقدار تابع هزینه با نرخ های یادگیری مختلف

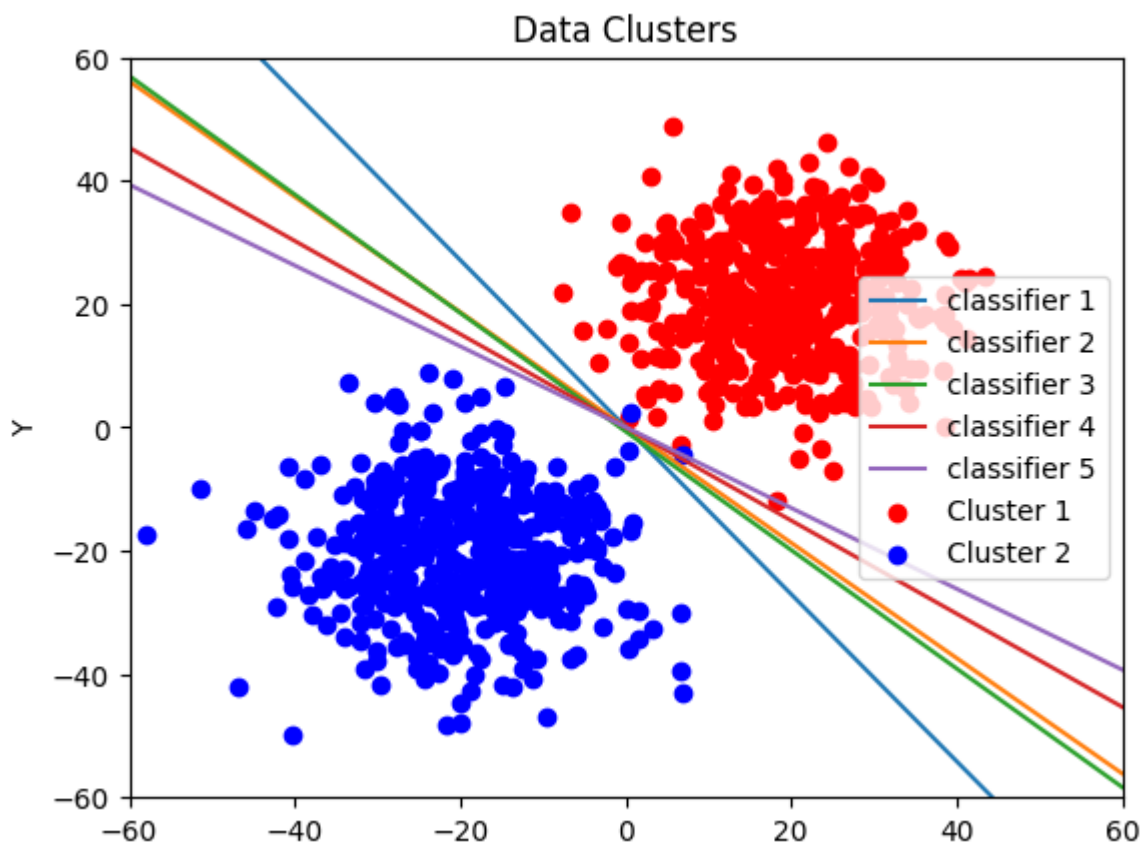


Figure 38 خطوط جدا کننده بهینه هر عامل حالت مربع مجموع نامحدود

با نگاهی به مقدار تابع هزینه می‌توان دید که همه حالات غیر از حالت طول گام ثابت تقریباً عملکرد ثابتی داشته‌اند. و در سریعاً به مقدار بهینه میل کردند اما حالت طول گام ثابت همگرایی کندی نشان داده و نیاز به زمان بیشتری برای همگرایی دارد.

## روش ADMM

$$\min_x \sum_{i=1}^{N=5} f_i(x_i)$$

$$s. t. x_i - z = 0$$

$$L_i(x, z, y) = f_i(x_i) + y_i^T (x_i - z) + \frac{\rho}{2} \|x_i - z\|^2$$

### ADMM

1. Initialize  $x, y, z$
2.  $x_i^{k+1} = \operatorname{argmin} L_i(x_i, y^k, z^k)$
3.  $z^{k+1} = \frac{1}{N} \sum (x_i(k+1) + \frac{y_i^k}{\rho})$
4.  $y_i^{k+1} = y_i^k + \rho(x_i^{k+1} - z^{k+1})$

نتایج

$$k = 200, \rho = 50$$

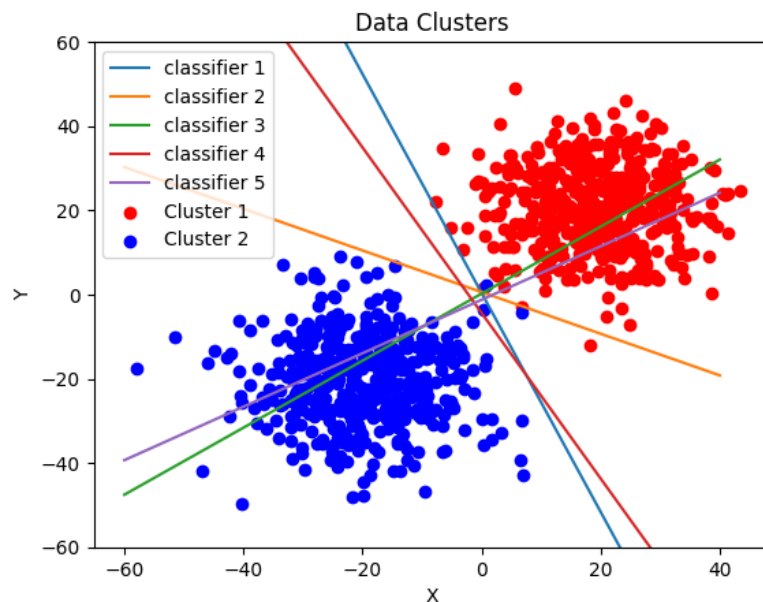


Figure 39 دسته ها و خطوط جدا کننده اولیه

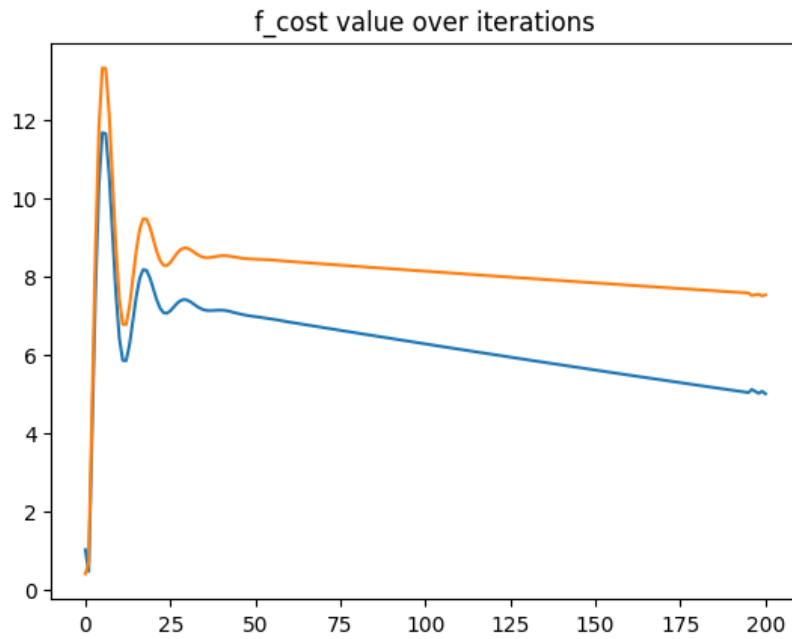


Figure 40 نمودار تابع هزینه

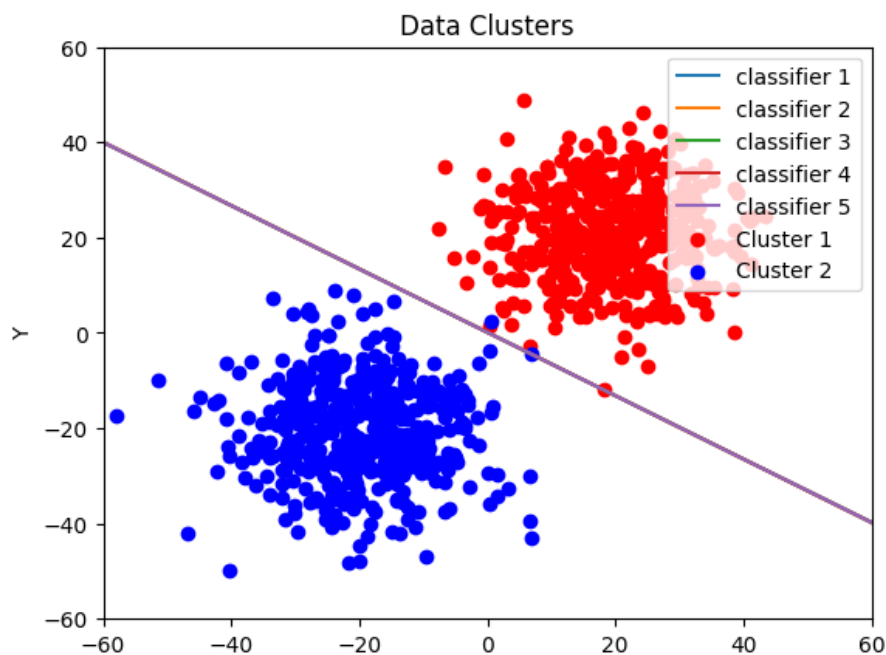


Figure 41 دسته و خطوط جدا کننده بعد از میل کردن به روش  $lr$  ثابت

با نگاهی به نمودار های بالا می توان دید که روش ADMM مسئله بهینه سازی و اجماع را به خوبی حل کرده و خطوط جدا کننده همگرا شدند و به خوبی 2 کلاس را جدا کرده اند.

## مسئله با متغیر تداخلی

برای مشاهده کاربرد های دیگری از مسئله primal یک مسئله با قید تداخلی حل می کنیم. مسئله شامل 3 تابع هدف هستند که 2 متغیر اول آن ها داخلی و 2 متغیر دوم آن ها مشترک هستند.

$$f(x_1, x_2, x_3, y) = f_1(x_1, y) + f_2(x_2, y) + f_3(x_3, y)$$

$$f_1(x_1, y) = 2(x_1[1] - 1)^2 + (x_1[2] - y[0])^2 + (y[0] - 1)^2 + 2.5(y[1] + 2)^2$$

$$f_2(x_2, y) = (x_2[1] - 1)^2 + 2 * (x_1[2] - 3)^2 + 2 * (y[0] - x_1[2])^2 + 0.5(y[2] - 2)^2$$

$$f_3(x_3, y) = (x_3[1] - 1)^2 + (x_3[2] - 3)^2 + 2 * (y[0] - x_3[2])^2 + 0.5(y[2] + x_3[1])^2$$

این مسئله را ابتدا بصورت متمرکز حل می کنیم. روش حل مشابه قسمت های قبل است.

$$Lr = 0.05$$

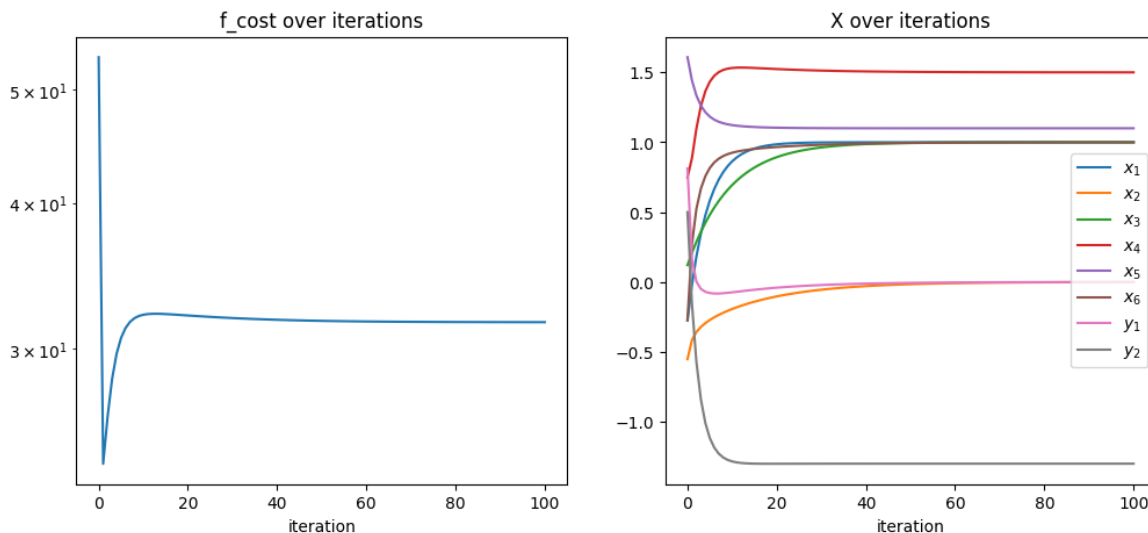


Figure 42 مقدار تابع و متغیر ها

روش متمرکز مسئله را به راحتی حل کرد

حال برای روش primal همانند آنچه برای روش 2 سطحی dual مسئله اصلی توضیح داده شد پیش می رویم. یعنی هر عامل تابع هزینه خودش را نسبت به متغیر های داخلی خودش آپدیت می کند. سپس در سطح بالاتر متغیر تداخلی  $y$  آپدیت می شود.

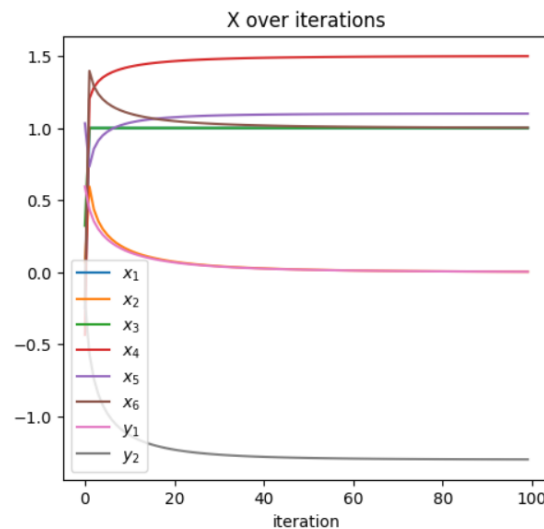
1. Initialize X, Y
2. For 100 times do:
  - a. For all agents do:
    - i. For 100 times do:

$$1. x_i^{k+1} = x_i^k - \alpha(l) * \frac{\partial}{\partial x_i} (f_i(x_i, y^l))$$

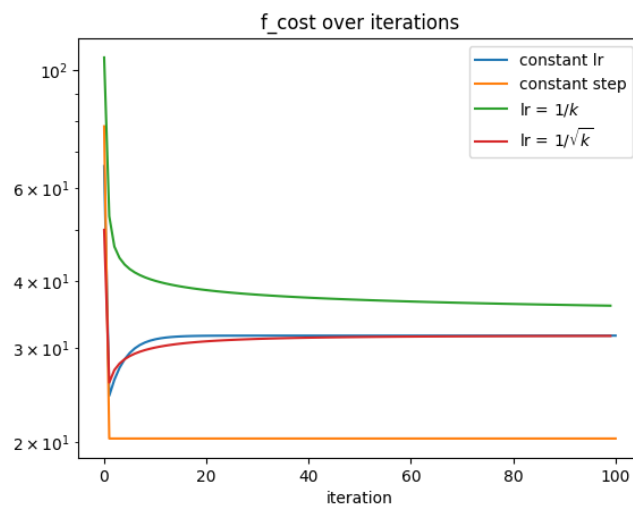


$$b. \quad y_i^{l+1} = y_i^l - \alpha(l) * \frac{\partial}{\partial y_i} (f_i(x_i^l, y))$$

با پیاده سازی روش فوق نتایج زیر بدست می آید.



**Figure 43** مقادیر متغیر ها



**Figure 44** مقدار تابع هزینه با lr های مختلف

با نگاهی به شکل می تواند دید که بهترین عملکرد را طول گام ثابت دارد. که به سرعت همگرا شده. بعد از آن روش lr ثابت و روش  $\frac{1}{\sqrt{k}}$  مشابه هم عملکرد و روش  $\frac{1}{k}$  نیز از همه کندتر بوده. اما اگر در نظر بگیریم که روش متمرکز نیز از lr ثابت استفاده کرده است. آنگاه جواب هر 2 روش ثابت است. اما روش primal به دلیل 2 سطحی بودن نیاز به محاسبه بیشتر دارد.